

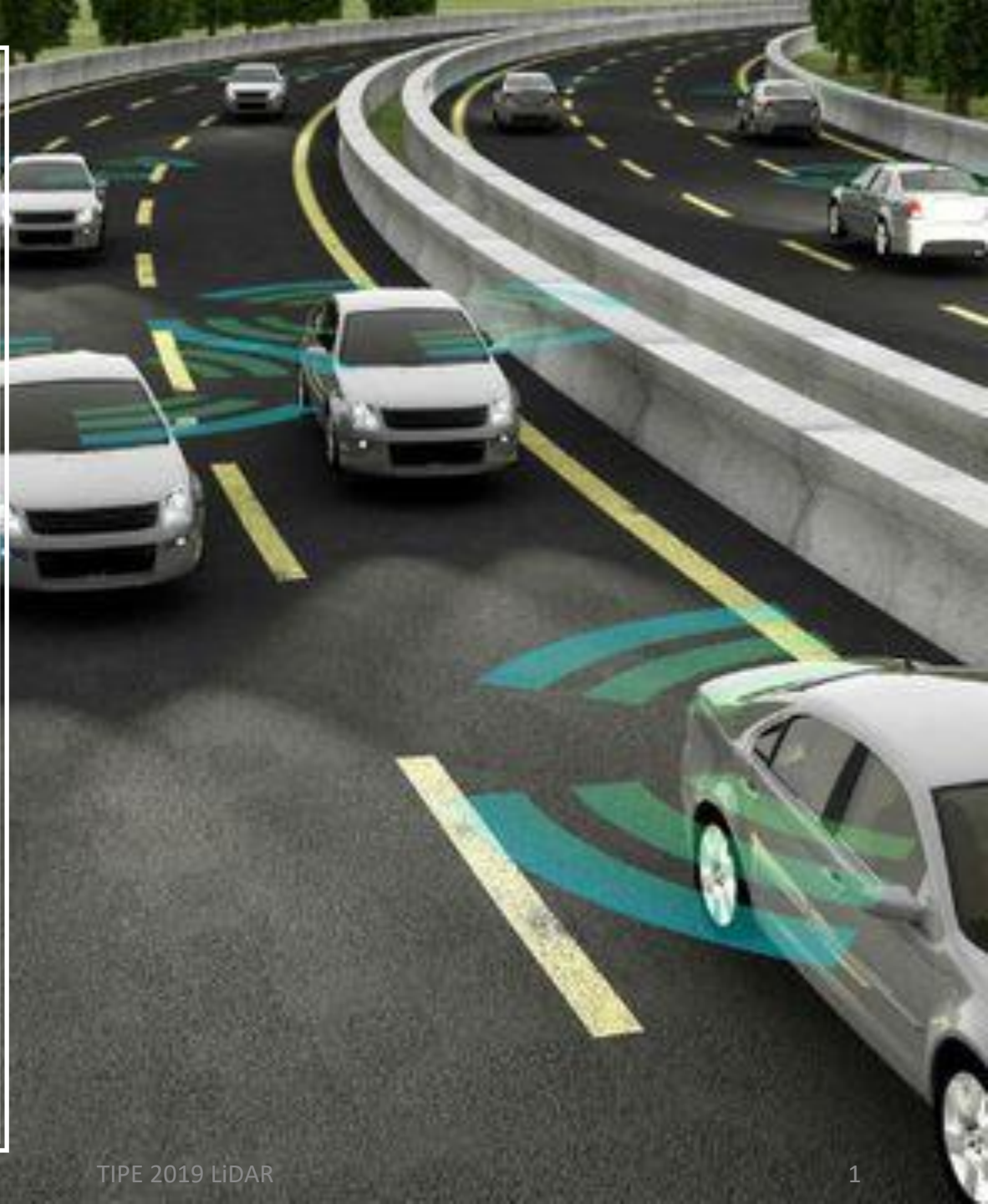
TRANSPORT D'ÉNERGIE LUMINEUSE EN MILIEU INHOMOGÈNE

APPLICATION AU LIDAR

Adrien Salem-Sermanet

Session 2019

32273



Fonctionnement général du LiDAR

Type étudié : Télémètre laser à balayage

Modèle tridimensionnel de son environnement : $z = \frac{c}{2}(t_{\text{écho},\text{max}} - t_0)$



**Etape 1 : Emission d'une
impulsion laser**



**Etape 2 : Réception de
l'écho réfléchi par la cible**

Problématique et plan

Dans quelle mesure les conditions météorologiques impactent-elles la précision du LiDAR ?




I. Perte de puissance - Approche continue



II. Perte de puissance - Approche discrète



III. Déviation : hautes températures et pluie

A photograph of a two-lane road stretching into the distance, shrouded in thick fog. The road has a solid yellow line on the left and a dashed white line on the right. The fog is dense, obscuring the horizon and the details of the surrounding landscape.

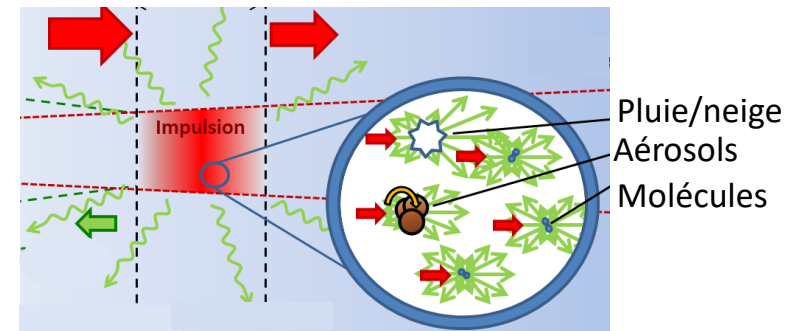
I. Perte de puissance

Approche continue

A. Perte de puissance dans l'atmosphère

Deux causes :

1. Par **absorption** :
coefficient d'absorption $\alpha(z,\lambda)$ en m^{-1}
2. Par **diffusion** :
coefficient de diffusion $\beta(z,\lambda)$ en m^{-1}

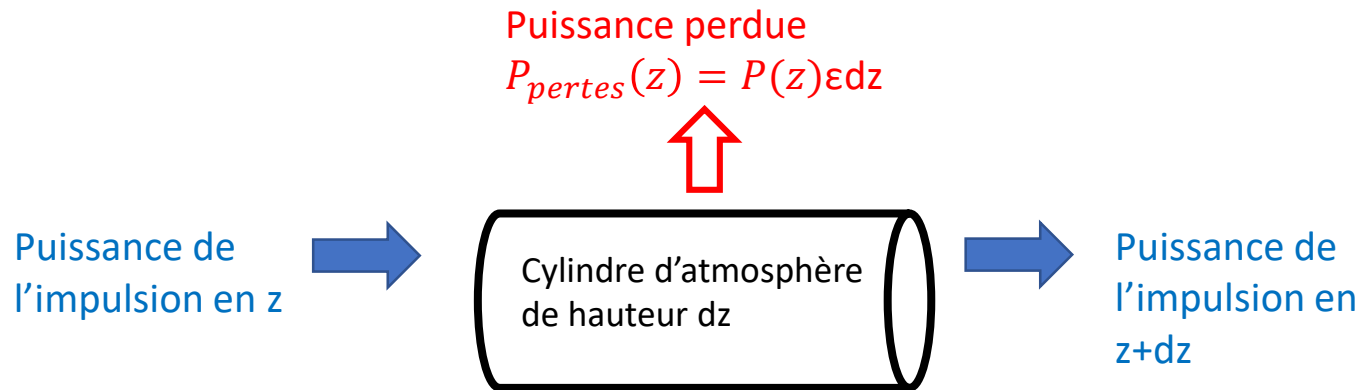


On note ainsi $\varepsilon(z,\lambda)$: coefficient d'extinction avec $\varepsilon(z,\lambda) = \alpha(z,\lambda) + \beta(z,\lambda)$ en m^{-1}

Premier modèle : Atmosphère = milieu d'atténuation uniforme

$\varepsilon(z,\lambda) = \varepsilon$ constant à λ fixée

A. Perte de puissance dans l'atmosphère



Loi de Beer-Lambert :

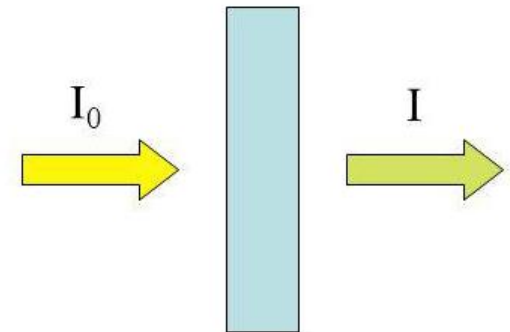
Bilan de puissance pour une impulsion laser entre z et $z+dz$:

$$P(z+dz) = P(z)(1 - \epsilon dz)$$

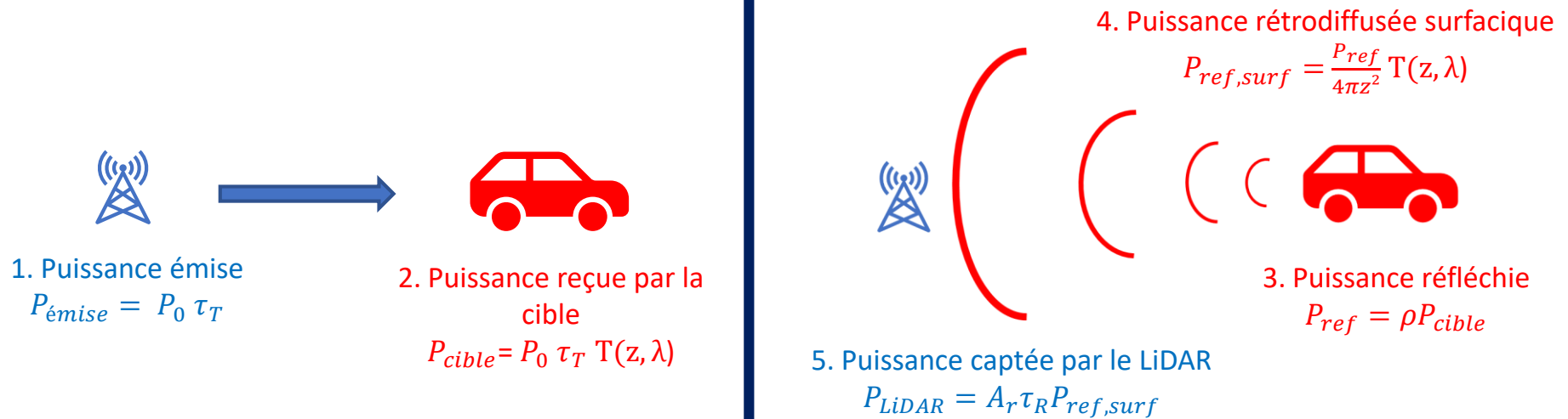
Donc $\mathbf{P(z)=P_0 T(z)}$ avec la transmittance $T(z) = \frac{P(z)}{P_0} = e^{\int_0^z -\epsilon dz'} = e^{-\epsilon z}$

Analogie avec la spectrophotométrie :

Absorbance $A = -\log\left(\frac{I}{I_0}\right) = -\log(T)$ avec $T = \frac{I}{I_0}$



B. Equation LiDAR



B. Equation LiDAR

$$P_{LiDAR}(z) = \frac{P_0 A_r \tau_T \tau_R \rho}{4\pi z^2} e^{-2\varepsilon z}$$

avec : A_r la surface de réception du LiDAR (m²)

τ_T le coefficient d'efficacité de transmission (entre 0 et 1 sans unité)

ρ l'albedo de la cible (entre 0 et 1 sans unité)

τ_R le coefficient d'efficacité de réception (entre 0 et 1 sans unité)

C. Simulation numérique

Valeur empirique pour ε :

$$\varepsilon = 0.02R^{0.6}$$

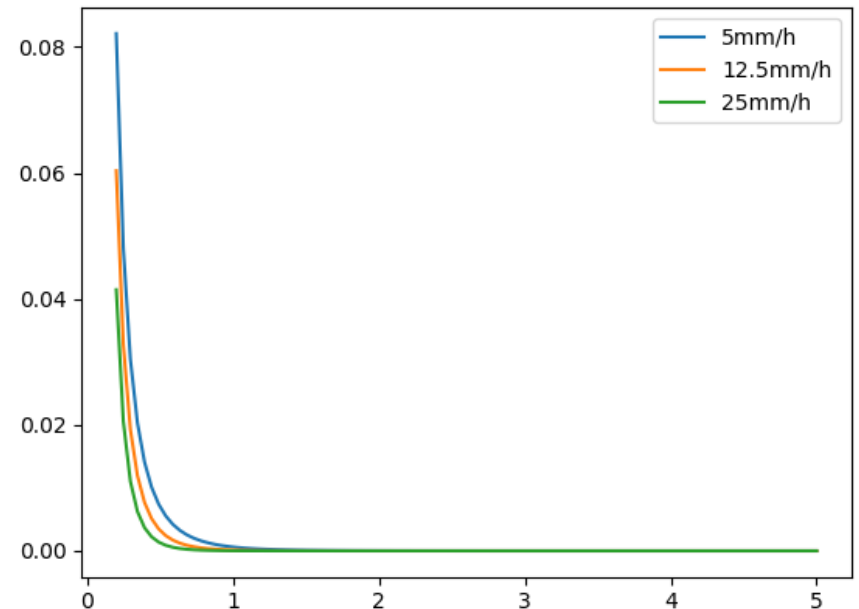
avec R : précipitation en mm/h

Equation LiDAR simplifiée :

$$P_r = \frac{K}{z^2} e^{-2 \times 0.02 R^{0.6} z}$$


K en Wm^2

Puissance relative
reçue (sans unité)



Puissance relative reçue en
fonction de la distance à la cible
pour plusieurs valeurs de R

Distance à la
cible (m)



II. Perte de puissance

Approche discrète

A. Modélisation

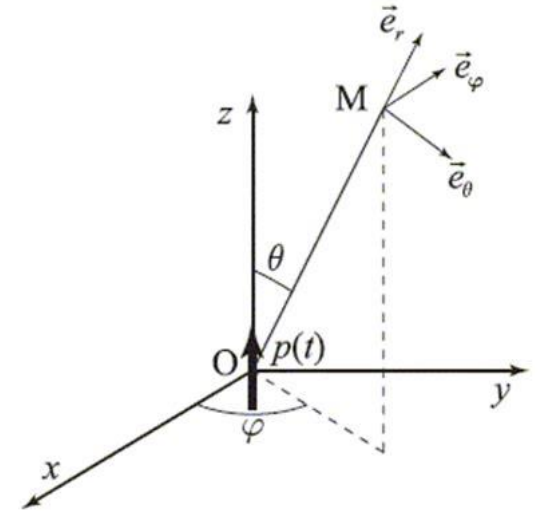
Faisceau : Onde électromagnétique (\vec{E}, \vec{B})

Goutte : Rayon b

Moment dipolaire induit par \vec{E} : $\vec{p} = p_0 \vec{E}$ avec $p_0 = 4\pi\epsilon_0 \frac{\epsilon-1}{\epsilon+2} b^3$

Rayonnement dipolaire : $p_{Ret}(t) = p(t - r/c)$

\vec{E}_{Ray} selon \vec{u}_θ et \vec{B}_{Ray} selon \vec{u}_φ



B. Absorption et diffusion d'énergie lumineuse

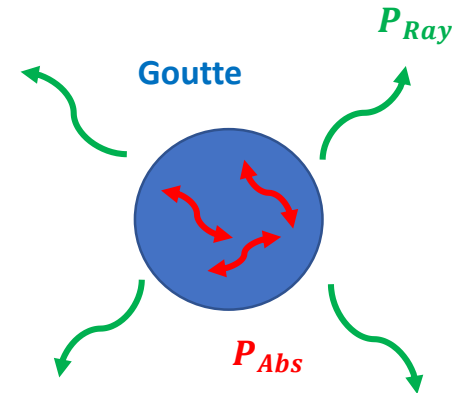
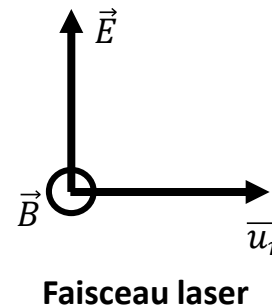
Théorème de Poynting appliqué à la goutte en volumique :

$$\underbrace{\frac{\partial w}{\partial t}} = - \underbrace{\text{div}(\vec{\Pi})} - \underbrace{\vec{j} \cdot \vec{E}}$$

Variation de
puissance
volumique

Puissance
volumique
rayonnée

Puissance
volumique
absorbée



B. Absorption et diffusion d'énergie lumineuse

Puissance absorbée :

$$\langle P_{Abs} \rangle = \iiint_{V_{goutte}} \langle \vec{j} \cdot \vec{E} \rangle \cdot \vec{d\tau} = \langle \vec{j} \cdot \vec{E} \rangle V_{goutte} \text{ avec } \vec{E} \text{ uniforme } (\lambda = \frac{c}{f_0} \gg b)$$

$$\vec{j} = \frac{d\vec{p}}{dt} = -i\omega \vec{p}$$

Donc

$$\langle P_{Abs} \rangle \sim b^6 f_0$$

$$V_{goutte} = \frac{4}{3}\pi b^3$$

Green-Ostrogradski

Puissance rayonnée :

$$\langle P_{Ray} \rangle = \iiint_{V_{goutte}} \text{div}(\langle \vec{\Pi}(r, \theta) \rangle) d\tau = \oint_{S_{goutte}} \langle \vec{\Pi}(r, \theta) \rangle \cdot \vec{ds}$$

Donc

$$\langle P_{Ray} \rangle \sim b^6 f_0$$

B. Absorption et diffusion d'énergie lumineuse

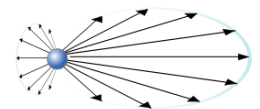
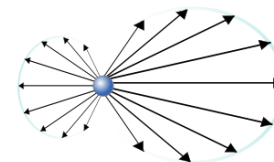
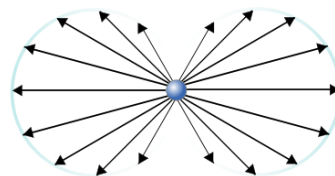
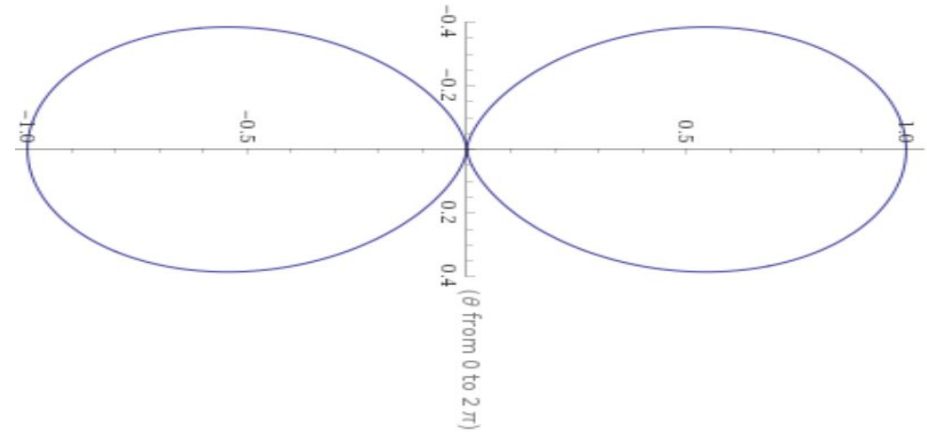
Puissance moyenne rayonnée par unité de surface :

$$\langle \vec{\Pi}(r, \theta) \rangle = \frac{1}{\mu_0} \langle \vec{E} \wedge \vec{B} \rangle = A \frac{(\sin \theta)^2}{r^2} \vec{u}_r$$

Directivité du rayonnement :

$$\text{On trace } R = f(\theta) = \frac{\langle \vec{\Pi}(r, \theta) \rangle}{\langle \vec{\Pi}_{Max}(r) \rangle} = (\sin \theta)^2$$

en coordonnées polaires



C. Modèle corpusculaire probabiliste

Principe :

- Faisceau lumineux = flux de photons
- Gouttes et déviation générées pseudo-aléatoirement

Paramètres :

- R intensité de la pluie en mm/h
- ω pulsation du photon ($E = \hbar\omega$) en rad/s
- μ_s et μ_a coefficients de diffusion et d'absorption dépendant de R en m^{-1}
- L distance entre les gouttes en m
- Paramètre d'anisotropie g dans $[-1;1]$ sans unité

International Journal of Antennas and Propagation

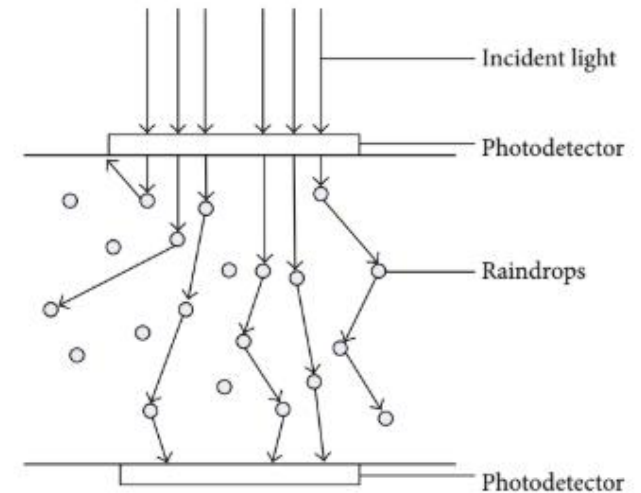


FIGURE 1: Schematic diagram for photons propagation model in stochastic rainfall.

C. Modèle corpusculaire probabiliste

A chaque goutte :

- $\omega \leftarrow \omega \left(1 - \frac{\mu_s}{\mu_s + \mu_a}\right)$
- Φ angle d'azimuth aléatoire
- Θ angle de colatitude = $H(g, \xi)$ fonction de phase de Henyey-Greenstein
- $L = \frac{-\ln(\xi)}{\mu_s + \mu_a}$ avec ξ aléatoire dans $]0;1[$

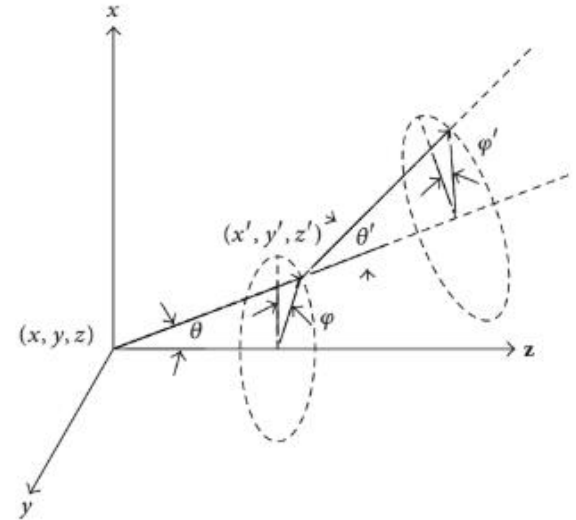
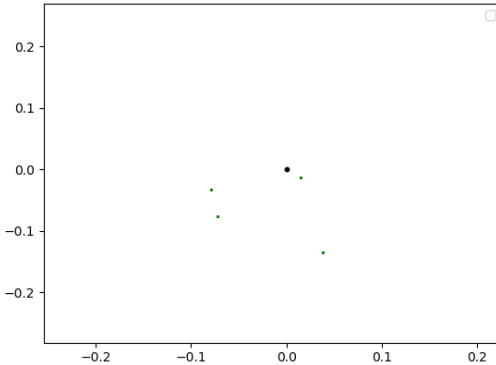


FIGURE 2: Coordinates of photon propagation.

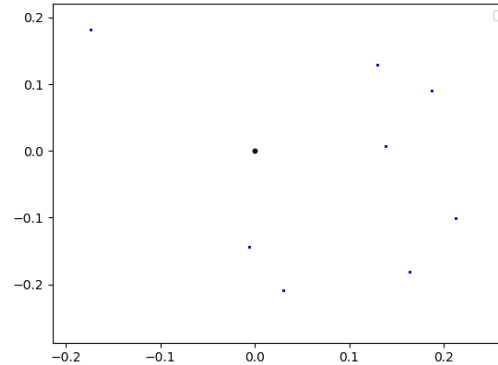
C. Modèle corpusculaire probabiliste

4 photons sur la cible(1000)



$g=0.9$

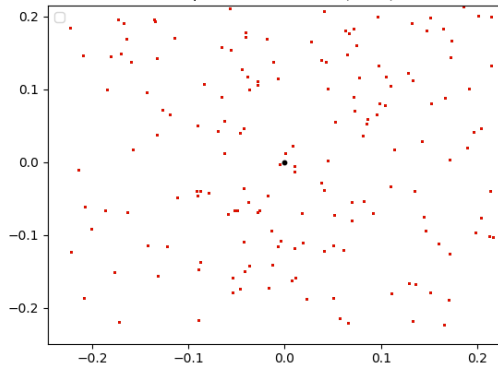
8 photons sur la cible(1000)



$g=0.95$

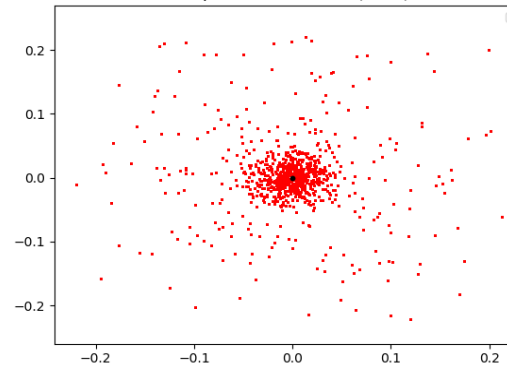
Photons sur l'écran de réception
du LiDAR ($0.2 \times 0.2 \text{ m}^2$) pour une
cible de $2 \times 2 \text{ m}^2$ à 10m du LiDAR
et $R=25\text{mm/h}$

166 photons sur la cible(1000)



$g=0.99$

881 photons sur la cible(1000)



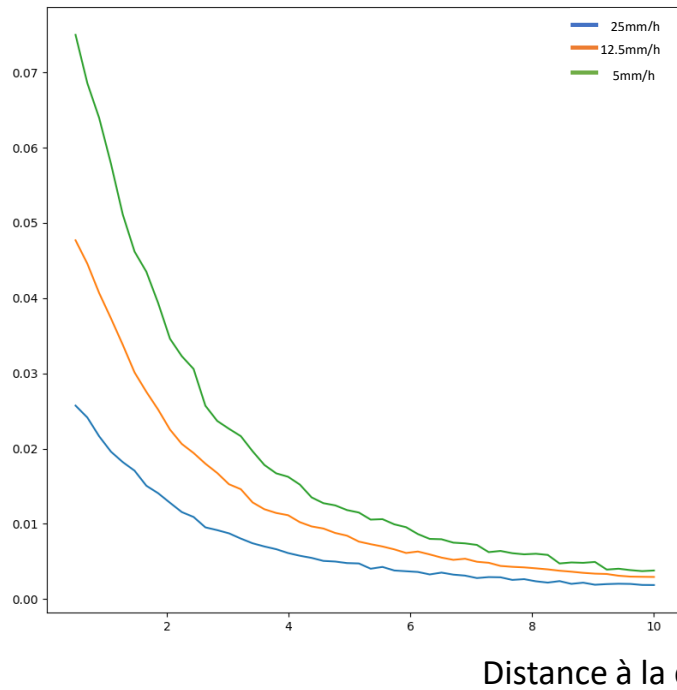
$g=0.999$

Code couleur énergie :

Vert < Bleu < Rouge

C. Modèle corpusculaire probabiliste

Puissance relative
reçue (sans unité)



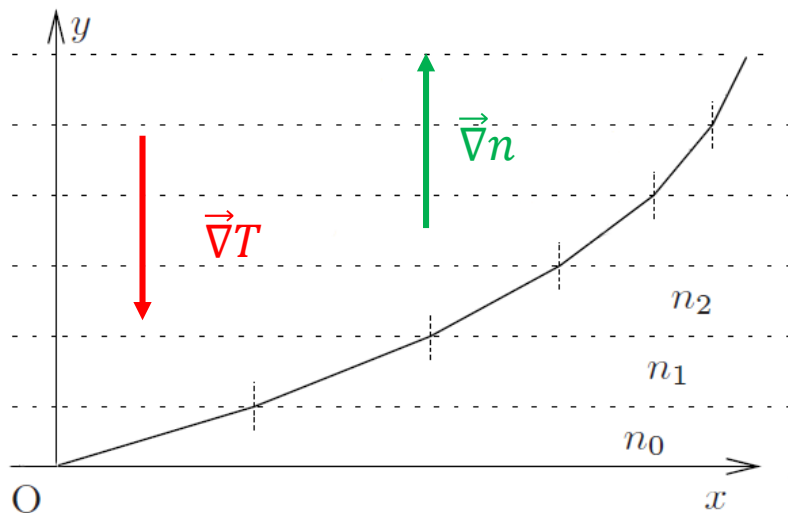
Puissance relative reçue pour une cible de $2 \times 2 \text{ m}^2$
et $g=0.99$ pour différentes valeurs de précipitations

A white SUV is driving away from the camera on a multi-lane highway. The car is in the center of the frame, and its shadow is cast on the road. The background shows a clear sky, some trees, and a distant horizon. The text 'III. Déviation' is overlaid on the right side of the car, and '1. Hautes températures' is overlaid below it. A vertical line separates the car from the text.

III. Déviation

1. Hautes températures

A. Equation de propagation théorique



Modèle : Milieu stratifié et 3^e loi de Descartes

Loi de Gladstone : $(n-1)T=0.082K$ pour l'air

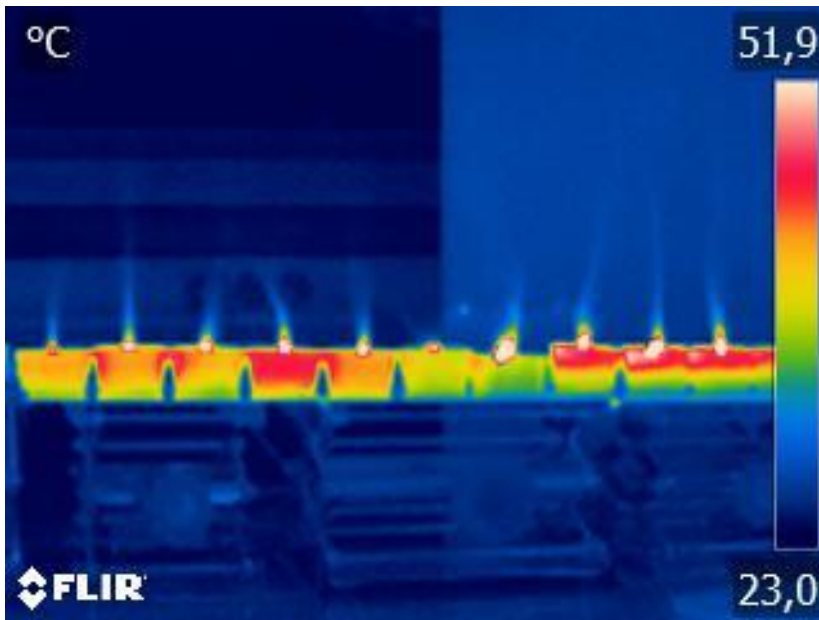
T(x) parabolique (interpolation)

Equation différentielle de trajectoire:

$$\frac{d^2y}{dx^2} = -\frac{K}{C_0^2} \left(\frac{K}{T} + 1 \right) \frac{1}{T^2} \frac{dT}{dy}$$

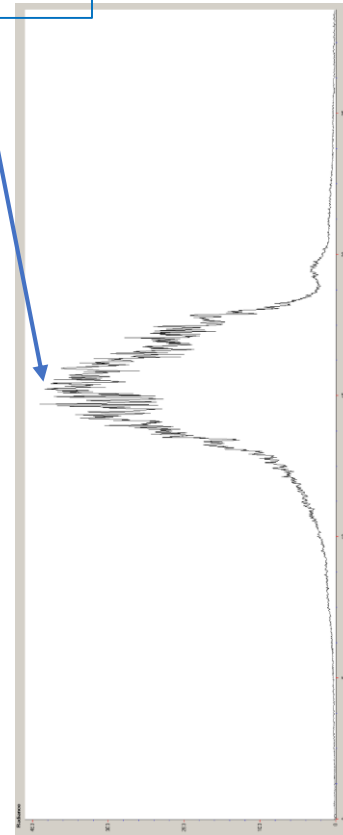
B. Déviation expérimentale du faisceau

Longueur gradient : 1m
Distance laser/cible : 5.3 m



Radiance reçue par la
caméra CCD ($\text{W} \cdot \text{m}^{-2} \cdot \text{sr}^{-1}$)

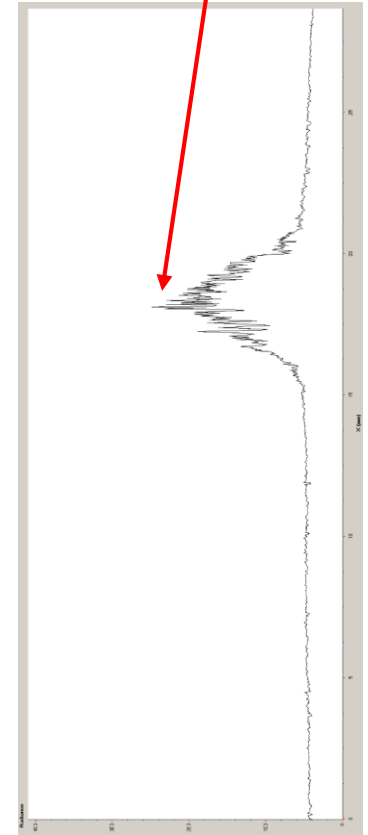
15,3 mm



Sans gradient

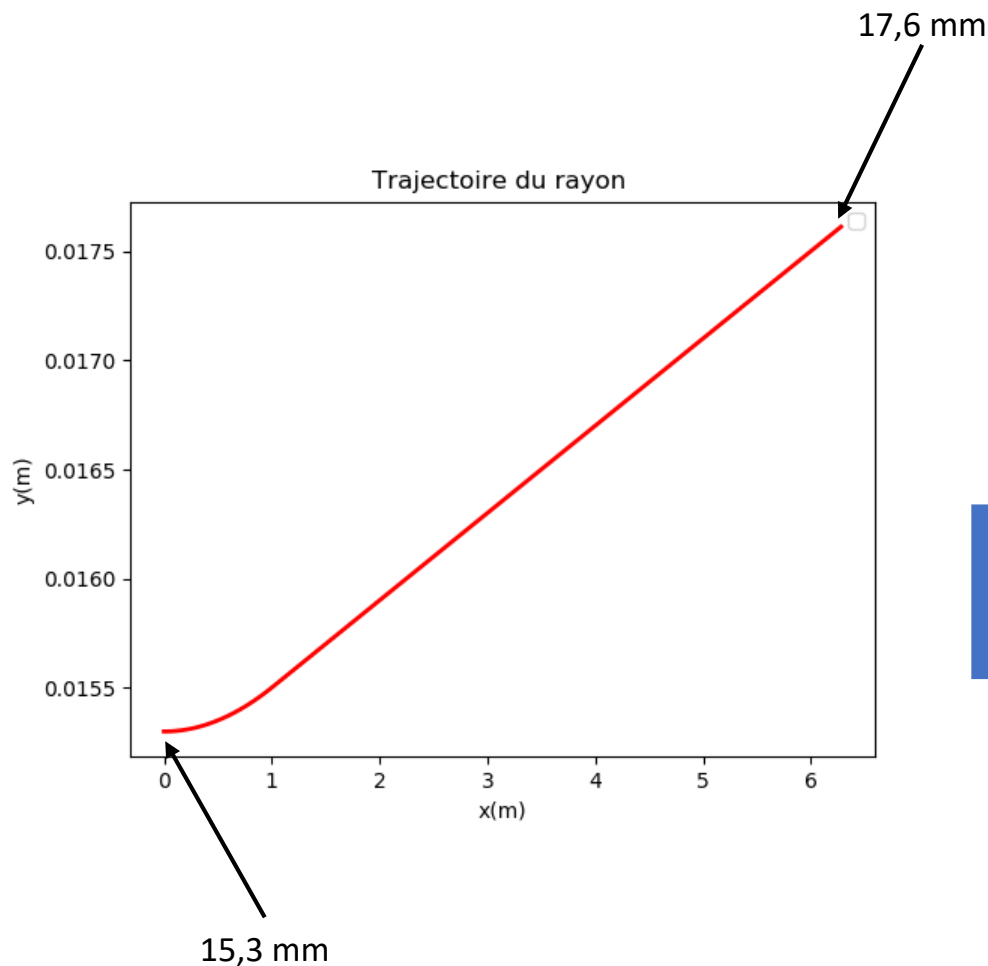
Hauteur (mm)

17,9 mm



Avec gradient

C. Simulation numérique et conclusion



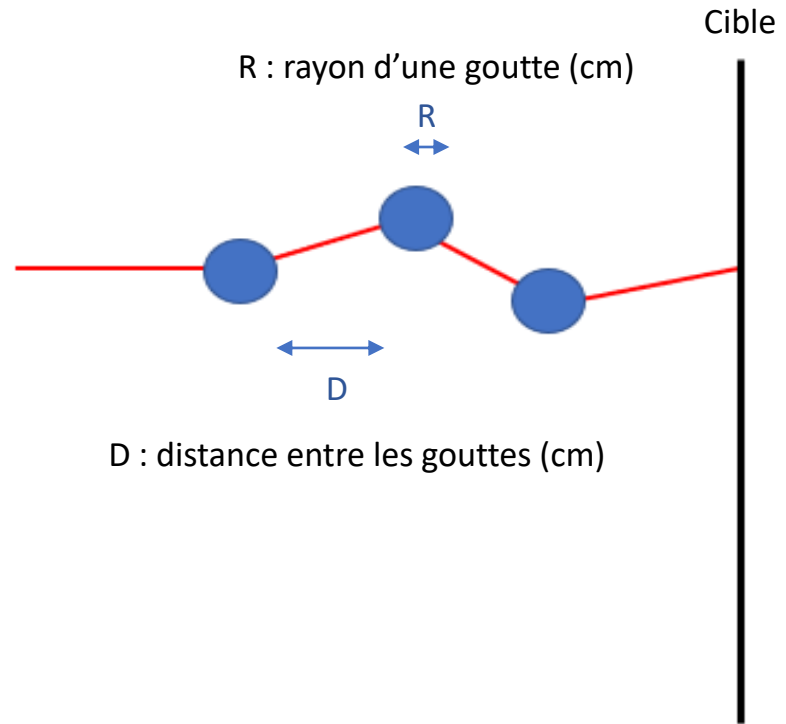
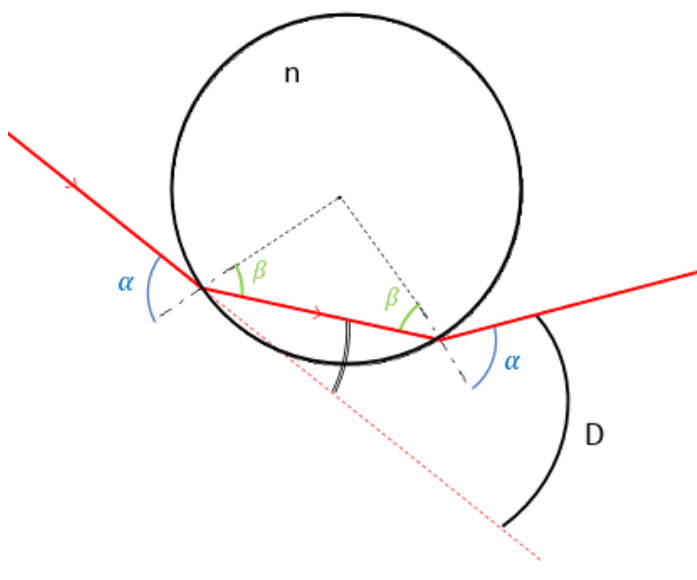
	Expérience	Simulation
Déviaton finale	2.6 mm	2.3 mm



III. Déviation

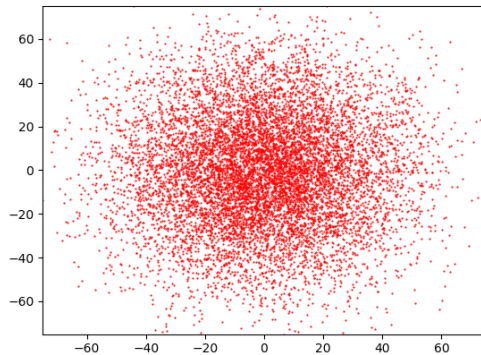
2. Pluie

A. Déviation du rayon par une goutte d'eau



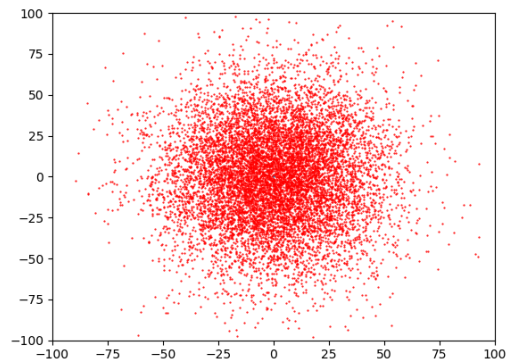
B. Simulation numérique (R fixé et D varie)

R=0.3 D=30 (cm)



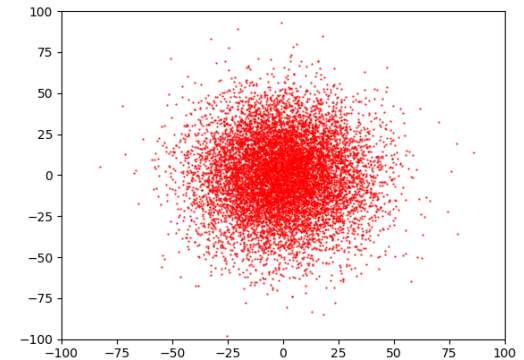
Vx=1109
Vy=1115

R=0.3 D=20 (cm)



Vx=615
Vy=609

R=0.3 D=10 (cm)



Vx=363
Vy=369

A white, compact, two-seater self-driving car is shown from a front-three-quarter view. It has a black LiDAR sensor mounted on its roof. The car is parked on a paved surface. The background shows a sunset or sunrise with orange and pink clouds. The word "Conclusion" is overlaid in large white text on the right side of the car. A thin white vertical line is on the left side of the car.

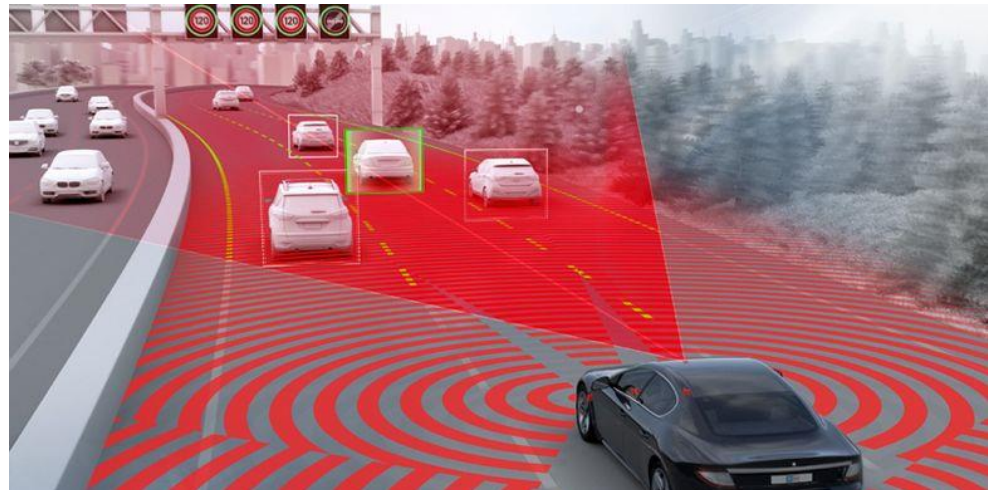
Conclusion

Conclusion

Impacts des conditions météorologiques sur les performances du LiDAR :

- Perte de puissance importantes
- Déviation par la pluie
- Peu d'effet du gradient thermique

Solutions ?



A stack of several books with varying colored spines (brown, blue, tan) is shown on the right side of the slide. In the foreground, a red pen with gold-colored accents lies horizontally. The background is a solid light gray.

Annexes

Equation de propagation du faisceau

En appliquant la 3^{ème} loi de Descartes on obtient la relation suivante :

$$n_i \cos(\alpha_i) = n_{i+1} \cos(\alpha_{i+1})$$

La quantité $C_0 = n(y) \cos(\alpha(y))$ est alors constante.

En coordonnées cartésiennes : $\cos(\alpha(y)) = \frac{dx}{\sqrt{dx^2 + dy^2}} = \frac{1}{\sqrt{1 + \left(\frac{dy}{dx}\right)^2}}$

D'où l'équation différentielle suivante :

$$n(y) = C_0 \sqrt{1 + \left(\frac{dy}{dx}\right)^2}$$

En dérivant selon x, on obtient :

$$\frac{d^2 y}{dx^2} = \frac{1}{2} \frac{d}{dy} \left(\left(\frac{n}{C_0} \right)^2 \right)$$

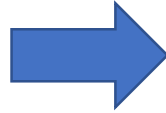
Loi de Gladstone appliquée à l'air : $(n - 1) \times T = K = 0.082 \text{ K}$

Donc $\frac{dn^2}{dy} = 2n \frac{dn}{dy} = -2 \left(\frac{K}{T} + 1 \right) \frac{K}{T^2} \frac{dT}{dy}$

$$\frac{d^2 y}{dx^2} = -\frac{K}{C_0^2} \left(\frac{K}{T} + 1 \right) \frac{1}{T^2} \frac{dT}{dy}$$

Moment dipolaire d'une goutte d'eau

Matériau isotrope soumis à un champ électrique peu intense



Polarisation électrique et atomique/ionique

Polarisation microscopique : $P = \epsilon_0 \chi E$ avec ϵ_0 permittivité du vide ($\epsilon_0 \chi = \alpha_e$ la polarisabilité électrique)
 χ susceptibilité électrique du matériau

Or, $\alpha_e = \frac{3M\epsilon_0}{N_A d} \frac{n^2 - 1}{n^2 + 2}$ avec n indice optique du milieu ($n^2 = \frac{\epsilon}{\epsilon_0}$) et d sa densité

De plus, $P = \frac{dp}{dV}$ donc le moment dipolaire total $p = \iiint P dV$

Ainsi, pour une goutte d'eau :

$$p = \iiint P dV \approx \frac{3M\epsilon_0}{N_A d} \frac{n^2 - 1}{n^2 + 2} V_{goutte} E = \frac{3M\epsilon_0}{N_A d} \frac{n^2 - 1}{n^2 + 2} \frac{4}{3} \pi b^3 E \sim 4\pi\epsilon_0 \frac{\epsilon - 1}{\epsilon + 2} b^3 E$$

Modélisation

Faisceau : Onde électromagnétique (\vec{E}, \vec{B}) localement plane dans le vide $\vec{E} = E_0 e^{i\omega(t - \frac{r}{c})} \vec{u}_z$
et $\vec{B} = \frac{\vec{u}_z \wedge \vec{E}}{c}$ (relation de structure)
Vecteur de Pointing : $\vec{P} = \frac{1}{\mu_0} \vec{E} \wedge \vec{B}$

Goutte : Rayon b

Moment dipolaire induit par \vec{E} : $\vec{p} = p_0 \vec{E}$ avec $p_0 = 4\pi\epsilon_0 \frac{\epsilon-1}{\epsilon+2} b^3$

Rayonnement dipolaire : $p_{Ret}(t) = p(t - r/c)$

$$\vec{E}_{Ray} = \frac{\mu_0 \sin(\theta)}{4\pi r} \ddot{p}_{Ret}(t)^2 \vec{u}_\theta \text{ et } \vec{B}_{Ray} = \frac{\mu_0 \sin(\theta)}{4\pi r c} \ddot{p}_{Ret}(t)^2 \vec{u}_\theta$$

Calculs de puissances

Puissance rayonnée par la goutte

$$\langle P_{Ray} \rangle = \int_{\theta=0}^{\pi} \int_{\varphi=0}^{2\pi} \langle \vec{\Pi}(r, \theta) \rangle \cdot \vec{dS} \text{ avec } \vec{dS} = r^2 \sin \theta d\theta d\varphi$$

$$\langle P_{Ray} \rangle = \frac{\mu_0 p_0^2}{12\pi c} (2\pi f_0)^4 \text{ donc } \sim b^6 f_0$$

Puissance moyenne rayonnée par unité de surface

$$\begin{aligned} \langle \vec{\Pi}(r, \theta) \rangle &= \frac{1}{\mu_0} \langle \vec{E} \wedge \vec{B} \rangle = \frac{\mu_0}{16\pi^2 cr} \langle \ddot{p}_{Ret}^2 \rangle (\sin \theta)^2 \vec{u}_r \\ &= \frac{\mu_0 p_0^2 (2\pi f_0)^4}{32\pi^2 cr^2} (\sin \theta)^2 \vec{u}_r = A \frac{(\sin \theta)^2}{r^2} \vec{u}_r \end{aligned}$$

Diffusion de Mie

Paramètre de taille $x = \frac{2\pi na}{\lambda}$ avec : n indice optique
a rayon de la particule
 λ longueur d'onde du faisceau

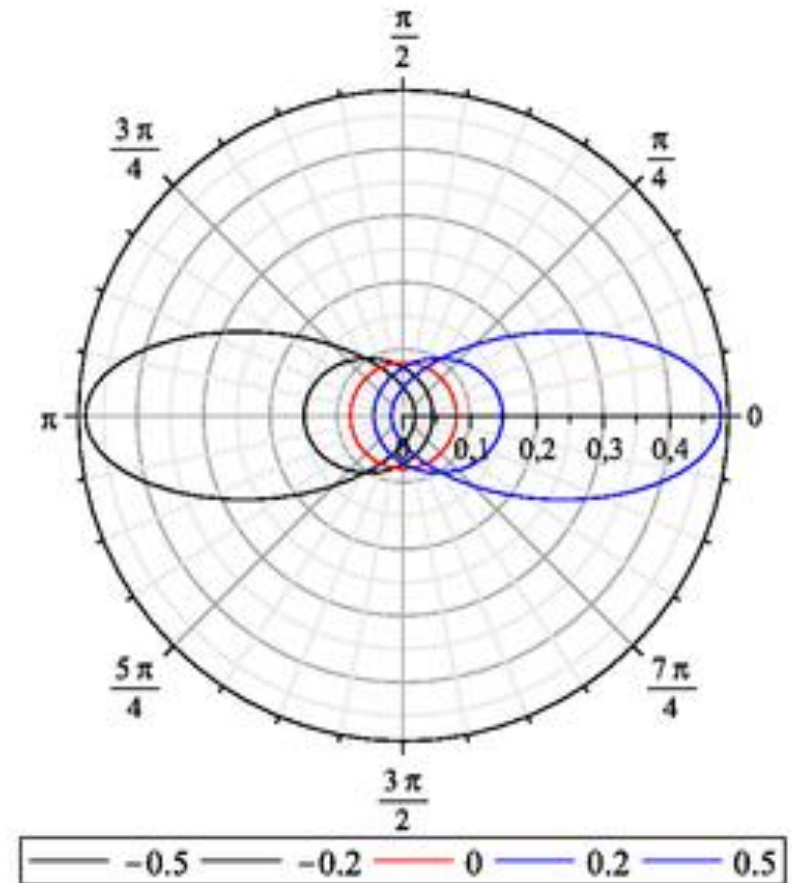
1. $x \ll 1$: Diffusion de Rayleigh (couleur bleue du ciel en $1/\lambda^4$ et rouge du soleil au coucher)
2. $x \sim 1$: Diffusion de Mie
3. $x \gg 1$: Diffusion géométrique (optique géométrique)

Or ici : $x \approx 10$ donc diffusion de Mie caractérisée par g proche de 1

Fonction de phase de Henyey-Greenstein

La fonction de phase possède la symétrie azimutale : elle est donc fonction du seul angle de colatitude θ ou de son cosinus.

On prend g proche de 1



Equation LiDAR en puissance

Forme générale :

$$P(z, \lambda) = K(\lambda) G(z) \eta(z, \lambda) T(z, \lambda)$$

Avec $K(\lambda) = \frac{P_0(\lambda) c A_r \tau_T}{2}$ coefficient d'étalonnage

$G(z) = \frac{O(z)}{z^2}$ facteur de géométrie

$\eta(z, \lambda)$ coefficient de rétrodiffusion

$T(z, \lambda) = \exp(-2 \int_0^z \alpha(z', \lambda) dz')$ transmission atmosphérique

Equation LiDAR en puissance

Prise en compte de l'énergie rétrodiffusée :

$E_{retro} = E_{LiDAR} \eta(z) \Delta z$ avec $\eta(z)$: coefficient de
rétrodiffusion (m^{-1})

Δz : la distance parcourue par
le laser = $\frac{c\Delta t}{2}$

On divise par Δt :

$$P_r = \frac{K}{z^2} e^{-2*0.02R^{0.6}z} \text{ avec } K = \frac{\rho c E_l A_r \tau_T \tau_R}{2} \text{ en } Wm^{-2}$$

Code Python Déviation Gradient Thermique

```
K = 0.082
a = -2*10**9
b = 3*10**8
c = -2*10**7
d = 671830
e = -10751
h = 377.57
C = 1
Y0 = (15.3*10**-3,0)
T0 = 341.7

def f(Y,x):

    (y,dy) = Y
    T = a*y**5 + b*y**4 + c*y**3 + d*y**2 + e*y
    + h
    dT = 5*a*y**4 + 4*b*y**3 + 3*c*y**2 + 2*d*y
    + e
    return(dy, (-1/C**2)*(1+(K/T))*(K*dT/T**2))
```

```
def tracer_rayon(d,D,n):

    """ d : longueur du gradient
        D : distance gradient-écran """
    x = np.linspace(0,d,n)
    y = si.odeint(f,Y0,x)
    x2 = np.array([d+D])
    (yf,dy_f) = y[n-1]
    Y2 = np.array([dy_f*D + yf])
    X = np.concatenate((x,x2))
    Y = np.concatenate((y[:,0],Y2))
    plt.plot(X,Y,"r",linewidth = 2)
    plt.title("Trajectoire du rayon ")
    plt.xlabel("x(m)")
    plt.ylabel("y(m)")
    plt.show()
```

Code Python Déviation Pluie (1/2)

```
import numpy as np
import matplotlib.pyplot as plt
import math
import random
from mpl_toolkits.mplot3d import Axes3D
```

```
#EN CM
#Ecran placé à écran sur Ox
```

```
pos = np.array([0,0,0])
vect = np.array([1,0,0])
```

```
dist_moy = 30 # De 10 a 30
ecran = 1000
r = 0.3 #De 0.2 a 0.5
n_air = 1
n_eau = 1.33
```

```
def normalise(vect):
    return vect/np.linalg.norm(vect)
```

```
def deplace(pos,vect,d):
    return (pos+d*vect,vect)
```

```
def generer_goutte(pos,vect):
    """Retourne centre de la goutte + vecteur normal
    unitaire au pt d'intersect"""
    z = random.uniform(pos[2]-r , pos[2]+r)
    y = random.uniform(pos[1]-math.sqrt(r**2-(z-
pos[2])**2) ,
pos[1]+math.sqrt(r**2-(z-pos[2])**2))
    x = pos[0] + math.sqrt(r**2-(z-pos[2])**2-(y-
pos[1])**2)
    return (x,y,z),normalise(np.array([pos[0]-x,pos[1]-
y,pos[2]-z]))
```

```
def proba(n):
    for i in range(n):
        try:
            a,gouttes=pluie(pos,vect)
        except ValueError:
            print("erreur")
    plt.scatter(y,z,s=0.3,c="red")
    plt.scatter(0,0,s=0.3)
    axes = plt.gca()
    axes.set_xlim([-100,100])
    axes.set_ylim([-100,100])
    plt.plot()
```

Code Python Déviation Pluie (2/2)

```
def pluie(pos,vect):
    i=0
    while pos[0] < ecran:
        i+=1
        pos,vect = deplace(pos,vect,dist_moy)
        centre,normale=generer_goutte(pos,vect)
        pos,vect = refracte(pos,vect,normale,centre,n_air,n_eau)
    return pos,i

def refracte(point,incident,normale,centre,n1,n2):
    incident1 = normalise(incident)
    normale1 = normalise(normale)
    """En sortie: point et vecteur directeur du rayon lumineux réfracté ou
    réfléchi"""
    cos1 = -np.dot(normale1,incident1)
    rac_cos2 = 1-(n1/n2)**2*(1-cos1**2)
    if rac_cos2>=0:
        cos2 = math.sqrt(rac_cos2)
    else:
        """Reflexion totale"""
        return point,normalise((incident1 + (2*cos1)*normale1))

    refracte = (n1/n2)*incident1 + ((n1/n2)*cos1-cos2)*normale1
    refracte1 = normalise(refracte)
    pos2 = deplace(point,refracte1,2*r*(-
np.dot(normale1,refracte1)))[0]
```

```
"""ON RECOMMENCE POUR SORTIR DE LA GOUTTE"""
normale2 = np.array([centre[0]-pos2[0],centre[1]-
pos2[1],centre[2]-pos2[2]])
normale2 = normalise(normale2)

cos1 = -np.dot(normale2,refracte1)
rac_cos2 = 1-(n2/n1)**2*(1-cos1**2)
if rac_cos2>=0:
    cos2 = math.sqrt(rac_cos2)
else:
    """Reflexion totale"""
    raise ValueError('Reflexion totale interne!')
if cos1>=0:
    refracte2 = (n2/n1)*refracte1 + ((n2/n1)*cos1-
cos2)*normale2
    refracte2 = normalise(refracte2)
    return pos2,refracte2
else:
    refracte2 = (n2/n1)*refracte1 +
((n2/n1)*cos1+cos2)*normale2
    refracte2 = normalise(refracte2)
    return pos2,refracte2
```

Code Python Puissance (1/3)

```
def propagation1(N,L,Dx,Dy,g,Ma,Ms):
```

```
    W1=[] #énergie de chaque photon
```

```
    X1=[]
```

```
    Y1=[]
```

```
    l1=[]
```

```
    d1=[]
```

```
    for i in range(N):
```

```
        j=0
```

```
        w=h*c/I0 #énergie du photon au départ
```

```
        (x,y,z)=(0,0,0)
```

```
        (Ux,Uy,Uz)=(0,0,1)
```

```
        d=0
```

```
        while j<1000 and z<L and w>0:
```

```
            k=random.uniform(1,0)
```

```
            b=random.uniform(0,2*pi)
```

```
            a=HG(g,k)
```

```
            l=(-log(k))/(Ma+Ms)
```

```
            (Ux,Uy,Uz)=transfo(Ux,Uy,Uz,a,b)
```

```
            (x0,y0,z0)=(x,y,z)
```

```
            (x,y,z)=(x+l*Ux,y+l*Uy,z+l*Uz)
```

```
            w=w*(1-(Ms/(Ms+Ma)))
```

```
            d+=l
```

```
            j+=1
```

```
            (x,y)=positionecran(L,x0,y0,z0,x,y,z)
```

```
        if abs(x)<=Dx/2 and abs(y)<=Dy/2 and w>0 and z>=L: #le  
        photon a atteint la cible
```

```
            W1.append(w)
```

```
            X1.append(x)
```

```
            Y1.append(y)
```

```
            l1.append([Ux,Uy,Uz])
```

```
            d1.append(d)
```

```
        n1=len(X1)
```

```
        return (W1,X1,Y1,l1,d1,n1)
```


Code Python Puissance (2/3)

```
RGB=["blue","green","orange","red","purple"]
```

```
def cadrage(m,M):  
    if m!=M:  
        return (1/(M-m),-m/(M-m))  
    else:  
        return(1,0)
```

```
def photonsecran2(W2,X2,Y2,Dx,Dy,N,d1,d2,t):  
    W=[x for x in W2 if x!=0]  
    print(W)  
    (c,d)=cadrage(min(W),max(W))  
    for i in range (len(W)):  
        w0=int((c*W[i]+d)*(len(RGB)-1))  
        #print(w0,W2[i])  
        plt.scatter(X2,Y2,s=1,c=RGB[w0])  
    plt.scatter(0,0,s=10,c="red")  
    T=tempstot(d1,d2)  
    P=puissance(N,t,T,W2)  
    axes=plt.gca()  
    axes.set_xlim([-Dx/2,Dx/2])  
    axes.set_ylim([-Dy/2,Dy/2])  
    plt.title(str(len(W))+ " photons sur la  
cible"+"(" +str(N)+")"+"\\n"+"Puissance relative reçue =  
"+str(float(P)))  
    plt.legend()  
    plt.show()
```

Code Python Puissance (3/3)

```
def tempstot(d1,d2):
    D=[]
    for i in range (len(d1)):
        if d2[i]!=d1[i] and d2[i]!=0: #sinon le photon n'a pas
atteint le capteur
            D.append(d2[i])
    T=[x/c for x in D]
    return (T)
```

```
def puissance(N,t,T,W2):
    if T!=[]:
        (Tmax,Tmin)=(max(T),min(T))
        P1=(N*h*c)/(t*I0) #pas de N au dénominateur ??
        P2=0
        if Tmax!=Tmin: #il y a plus de deux photons qui arrivent sur
le capteur
            E=sum(W2)
            P2=E/(Tmax-Tmin)
        return (P2/P1)
    return (None)
```

```
def puissancemoy(N,L,g,t,Dx,Dy,Ex,Ey,M,Ma,Ms):
    P=[]
    for i in range(M):
        (W1,X1,Y1,I1,d1,n1)=propagation1(N,L,Dx,Dy,g,Ma,Ms)
        (W2,X2,Y2,I2,d2,n2)=propagation2(L,Ex,Ey,g,W1,X1,Y1,I1,d1,n1,Ma,Ms)
        T=tempstot(d1,d2)
        p=puissance(N,t,T,W2)
        if p!=None and p>0 :
            P.append(p)
    if P!=[]:
        p0=sum(P)/len(P)
        return (p0)
```

```
def courbefinale(N,g,t,Ex,Ey,Dx,Dy,M):
    X=np.linspace(0.5,10,50)
    R=[5.00,12.5,25]
    Coeffs=[(0.0013,0.00132),(0.0024,0.00244),(0.0038,0.00387)]
    for j in range (len(R)):
        Y=[]
        for i in range (len(X)):
            p0=puissancemoy(N,X[i],g,t,Dx,Dy,Ex,Ey,M,Coeffs[j][0],Coeffs[j][1])
            if p0!=None:
                Y.append(p0)
            else:
                Y.append(0)
        plt.plot(X,Y,label=str(R[j])+"mm/h")
    plt.legend()
```

Bibliographie

- [1] Savatier, F. : Vers la conduite automatique : Pour la Science, pp. 100-101. Janvier 2009
- [2] du Chapelet, M., Fang, Z., Gauthier, Q., et al. : LiDAR : Etat de l'art, application en perception de l'environnement pour le véhicule autonome. : INSA Rouen. 2017
- [3] Balland, B. : Optique géométrique: imagerie et instruments. : INSA Lyon, pp.89 - 92. 2007
- [4] Concours d'admission Première épreuve de physique Filière MP. : Mines ParisTech 2012
- [5] Flechon J. : Applications des franges non localisées - Vérification de la loi de Gladstone. : ENS Fontenay/St Cloud (1965)
https://www.canalu.tv/video/cerimes/applications_des_franges_non_localisees_verification_de_la_loi_de_gladstone.12285
- [6] Guo, J., Zhang, H. and Zhang, X. : Propagating Characteristics of Pulsed Laser in Rain. 2018
- [7] Ian Wong, J. : Driverless cars have a new way to navigate in rain or snow. : Quartz.com 2016

Références images

D1: <https://phys.org/news/2017-12-autonomous-vehicles-uncertain-effects.html>

D4: <https://www.powerbulbs.com/eu/blog/2015/09/tips-on-driving-in-fog>

D5: https://fr.wikipedia.org/wiki/Lidar#Lidars_t%C3%A9l%C3%A9m%C3%A9triques_laser_%C3%A0_balayage

D6 : <http://slideplayer.fr/slide/1579892/>

D10: <https://www.flickr.com/photos/lawatt/47803095>

D14: https://fr.wikipedia.org/wiki/Th%C3%A9orie_de_Mie

D23: https://dailygeekshow.com/route-chaleur-hiver-ete/?utm_medium=social&utm_source=pinterest

D23: <https://lawrencestevens.com/blog/2014/7/31/road-trip-day-7-el-paso>

D26: <https://www.numerama.com/business/166851-voiture-autonome-google-uber-volvo-ford-et-lyft-font-alliance.html>

D27: <http://lemobiliste.com/voiture-autonome-attente-mondiale/>

D28: <https://www.fudosansell-agent.com/useful/document/>

D34: https://fr.m.wikipedia.org/wiki/Fonction_de_phase_de_Henyey-Greenstein